

«Введение в турбулентность»

вопрос по выбору

Примаек Евгений, Хоружий Кирилл

9 июня 2020 г.

Абстракт

- ✓ Рассмотрены сценарии перехода к турбулентности:
 - сценарий Ландау-Хопфа (Л. Д. Ландау, 1944)
(+ эффект синхронизации колебаний);
 - бифуркация разрушения кв. период. режима (1978).
 - сценарий удвоения периода (1978).
- ✓ Решена задача о конвекции в замкнутой петле (1977).
- ✓ Создана рабочая модель водяного колеса (1987).
- ✓ Построен аттрактор Лоренца (Э. Лоренц, 1963).
- ✓ Проанализировано логистическое отображение (1976).

- ✗ Развитая турбулентность (А. Н. Колмогоров, 1941)

Проблема беспорядочных потоков

Уравнение течение вязкой жидкости:

$$\frac{\partial \vec{v}}{\partial t} = -(\vec{v} \cdot \nabla) \vec{v} + \nu \Delta \vec{v} - \frac{1}{\rho} \nabla p + \vec{f}$$

Для возникновения турбулентного течения число Рейнольда должно превысить некоторое $R_{\text{крит}}$.

$$R = \frac{\rho v L}{\eta}$$

Развитие теории возникновения турбулентности

До возникновения же турбулентного течения последовательное повышение R приводит к движению потоков по следующим сценариям:

стационарное \rightarrow периодичное \rightarrow квазипериодичное

Разберём их подробнее.

Определения

Динамическая система (DS) — тройка $\{E, f, T\}$, где E — фазовое пространство, T — множество, характеризующее эволюцию системы во времени; f — дифференцируемое отображение $T \times E \rightarrow E$, или $f^t(x)$, где $t \in T$.

Пространство состояний (фазовое пространство) — каждая точка отвечает распределению скоростей в ней.

Аттрактор — E : все траектории из $B \subset E$ стремятся к нему, при $t \rightarrow \infty$.

Бифуркация — качественное изменение фазового портрета, при плавном изменении параметров DS.

Определения

Предельный цикл — ЗПТ системы дифференциальных уравнений, изолированная от других ЗПТ и ЗПТ: \forall траекторий из некоторой окрестности периодических траекторий стремится к ней при $t \rightarrow +\infty$ (установившийся периодический цикл) **или** при $t \rightarrow -\infty$ (неустановившийся предельный цикл).

Хаотичное отображение — f хаотично, если

1) Периодические точки всюду плотны в E .

2) Орбиты перемешиваются (почти):

$U_1, U_2 \subset E. \forall x_0 \in U_1 \exists N \in \mathbb{N} : f^N(x_0) \in U_2.$

3) f чувствительно к н.у.:

$\forall x_0 \in E, \forall U_\varepsilon(x_0) \exists y_0 \in U_\varepsilon, \exists N \in \mathbb{N} : |f^N(x_0) - f^N(y_0)| > \beta.$

Мультипликатор

При $> R_{\text{кр}}$ найдём решения для:

$$\mathbf{v} = \mathbf{v}_0 + \mathbf{v}_2.$$

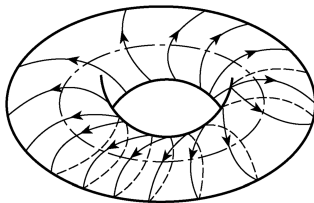
Решение будем искать в виде:

$$\mathbf{v}_2 = \Pi(\mathbf{r}, t)e^{-i\omega t}, \text{ где } \mu \equiv e^{-i\omega t} - \text{мультипликатор.}$$

Потеря устойчивости происходит при $\mu \gtrsim 1$.

«Рождение» двумерного тора

Пусть $\mu = \exp(\pm 2\pi\alpha i)$, где $\alpha \in \mathbb{R} \setminus \mathbb{Q}$.



Геометрическим образом этого движения в пространстве состояний служит траектория в виде незамкнутой намотки на двумерном торе.

Причины

Предположим, что при \uparrow будут последовательно появляться новые несоизмеримые периоды.

$$2D \text{ тор} \rightsquigarrow 3D \text{ тор} \rightsquigarrow \dots \rightsquigarrow ND \text{ тор} \rightsquigarrow \dots$$

Интервалы между числами $\kappa_r \downarrow$,
появляющиеся движения имеют все меньшие масштабы.

Движение приобретает сложный характер —
турбулентный.

Реализация

Общий вид функции:

$$\mathbf{v}(\mathbf{r}, t) = \sum \mathbf{A}_{p_1 p_2 \dots p_N}(\mathbf{r}) \exp \left(-i \sum_{i=1}^N p_i \varphi_i \right),$$

Интересное нам время:

$$t = \frac{\alpha - \beta_1}{\omega_1} + 2\pi s \frac{1}{\omega}.$$

Значение φ_2 :

$$\varphi_2 = \beta_2 + \frac{\omega_2}{\omega_1} (\alpha - \beta_1 + 2\pi s).$$

Время возврата, растет с увеличением N и становится столь большим, что никакого следа периодичности не остается.

Проблема (синхронизация колебаний)

- 1) Пусть возмущенное решение содержит 2 независимые ω .
- 2) Возмущение на $\omega_1 \in U(\text{кр}2)$ интенсивно
 \Rightarrow возмущение на $\omega_1 \equiv \text{при} \in U(\text{кр}2)$.
- 3) В некотором приближении получим, что φ_2 вращается с постоянной скоростью. С учетом надкритического поведения, перейдём к уравнению с возмущением.
- 4) В общем случае оно имеет стационарные решение $\varphi_2 = \varphi_2^0$, но также мы получаем, что **на торе существует предельный цикл – траектория через m_1 оборотов замыкается.**

Проблема (синхронизация колебаний)

Рождение предельного цикла \Rightarrow синхронизация колебаний
(исчезновение квазипериодического режима)

Таким образом **вероятность реального осуществления сценария Ландау- Хопфа мала.**

Конечное число «опасных» мультипликаторов

Рассмотрим $\mu \sim 1$: $\text{card}\{\mu_i\} < +\infty$. Получим систему вида

$$\dot{\mathbf{x}}(t) = \mathbf{F}(\mathbf{x}).$$

Система диссипативна, так что:

$$\text{div } \dot{\mathbf{x}}(t) = \text{div } \mathbf{F}(\mathbf{x}) \equiv \partial F^{(i)} / \partial x^{(i)}.$$

«Странность» аттрактора

Стремиться к предельному циклу или к незамкнутой намотке на торе? А может быть и по-другому..

- ✓ Рассмотрим внутри ограниченного объема траектории в предположении, что **они все неустойчивы**.
 - ✓ Две сколь угодно близкие точки пространства состояний в дальнейшем разойдутся.
 - ✓ Незамкнутая траектория может подойти к самой себе сколь угодно близко.
- ↪ **турбулентное движение жидкости.**

Бифуркация разрушения квазипериодического режима

Сколь угодно малая нелинейность может **разрушить намотку на торе**, создав на торе **странный аттрактор** (*D. Ruelle, F. Tokens, 1971*).

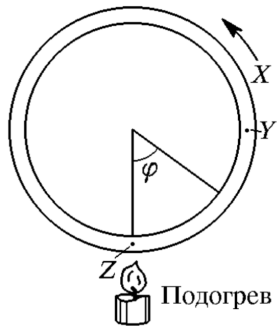
Но, по теореме Пуанкаре-Бендиксона на двумерной поверхности невозможно существование хаотического режима.

На третьей бифуркации возникновение странного аттрактора становится возможным (*D. Ruelle, F. Tokens, 1978*).

Структура (канторовость) странного аттрактора

- ✓ Элемент объёма в окрестности седловой траектории в одном из направлений растягивается, в другом сжимается.
 - ✓ Ввиду диссипативности объёмы должны уменьшаться.
 - ✓ По ходу траекторий направления должны меняться.
- ⇒ уменьшение по площади и изгиб формы.
- ⇒ система вложенных полос, разделенных пустотами.
- ⇒ канторовость странного аттрактора (характерное свойство).

Постановка задачи о конвекции



Зарождение квазипериодических потоков можно пронаблюдать на примере задачи о конвекции в замкнутой петле.

При достаточно большой интенсивности подогрева возможно возникновение конвекционного течения в трубе.

Метод решения

Ограничившись разложением уравнения $T(\varphi)$ в ряд Фурье только до первой гармоники:

$$T(\varphi) = T_0(1 + Y \sin \varphi + Z \cos \varphi)$$

Исходя из качественных соотношений составим уравнения для динамических переменных X, Y, Z , подставляя их в выражение для $T(\varphi)$, получим их в виде.

$$\dot{X} = cY - \beta X, \quad \dot{Y} = XZ - DY, \quad \dot{Z} = A - XY - DZ$$

Пояснения

Предположим, что имеет место течение с постоянной скоростью, $\dot{\varphi} = X$. Тогда можно записать:

$$T = f(\varphi - Xt) = T_0(1 + Y \sin(\varphi - Xt) + Z \cos(\varphi - Xt))$$

Введя обозначение $\varphi' = \varphi - Xt$:

$$\dot{T} = T_0(Y \dot{\varphi}' \cos \varphi' - Z \dot{\varphi}' \sin \varphi') = T_0(-XY \cos \varphi' + ZX \sin \varphi').$$

Решение

Далее, производя замену переменных для уравнений для X, Y, Z :

$$X = Dx, \quad Y = \frac{\beta Dy}{c}, \quad Z = -\frac{\beta Dz}{c}, \quad t = Dt,$$

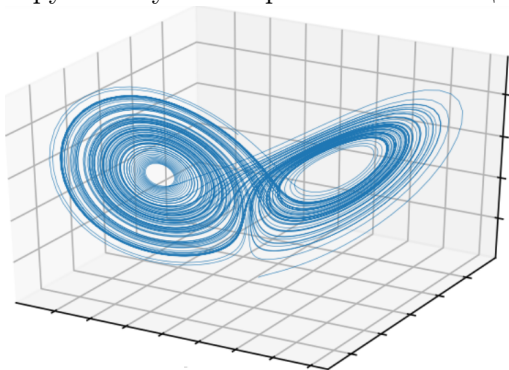
получаем уравнения Лоренца:

$$\dot{x} = \sigma(y - x), \quad \dot{y} = rx - y - xz, \quad \dot{z} = -bz + xy$$

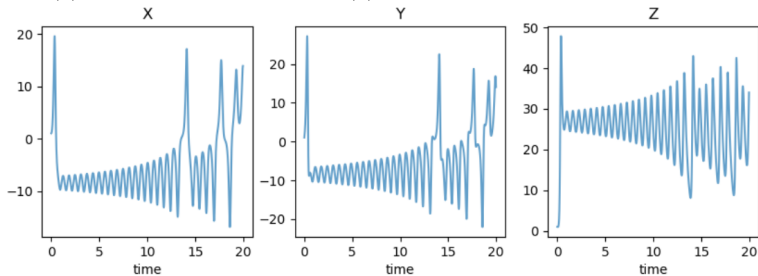
решение которых сводится к решению системы дифференциальных уравнений.

Исследование решения

Промоделируем полученное решение с помощью *Python*.

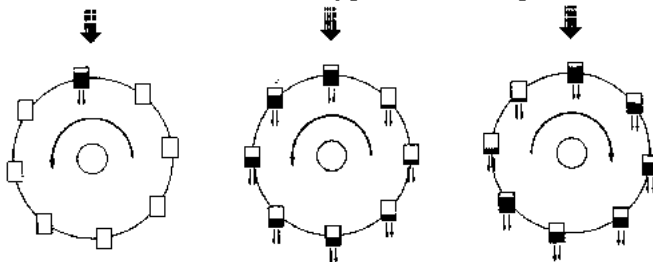


Также в проекции на каждую ось действительно наблюдается хаотичное поведение.

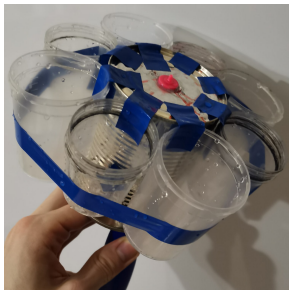


Механическая аналогия

Так называемое Водяное колесо Лоренца имеет в своей сущности чисто механические уравнения, однако их решения сводится всё к той же системе уравнений Лоренца.



Неудавшийся эксперимент



Был проделан эксперимент, в ходе которого было замечено непериодическое движение колеса.

Однако при попытке снять экспериментальные точки обнаружилась невозможность это проделать из-за неисправности установки.

Отображение Пуанкаре

Введём в пространстве плоскость вдоль направления одного из мультипликаторов. Тогда оставшиеся оставшиеся траектории других будут прижиматься к плоскости.

Разрежем поток траекторий вблизи этой плоскости некоторой секущей поверхностью. Каждая траектория повторно пересекая эту поверхность ставит в соответствие

$$x_j \rightsquigarrow x_{j+1}.$$

Связь $x_{j+1} = f(x_j : R)$ называют **отображением**

Пуанкаре (или отображением последования) Дискретная о играет роль времени.

К одномерному случаю

Одномерное отображение Пуанкаре дает альтернативный способ определения характера течения вблизи бифуркации.

Самому периодическому движению отвечает **неподвижная точка** – значение $x_j = x_*$, не меняющееся при отображении. Неподвижная точка также может быть устойчивой и нет, в зависимости от $|\mu|$.

Бифуркация удвоения периода

Рассмотрим переход μ через значение -1 в окрестности предельного цикла с периодом T_0 , вследствие которого возникает новый предельный цикл с периодом $2T_0$ – бифуркация удвоения периода.

Вблизи $x = 0$ отображение, описывающее бифуркацию удвоения периода:

$$x_{j+1} = -[1 + (R - R_1)]x_j + x_j^2 + \beta x_j^3,$$

Путь в возникновение турбулентности

Двукратная же итерация того же преобразования приводит к отображению:

$$x_{j+2} = x_j + 2(R - R_1)x_j - 2(1 + \beta)x_j^3.$$

При $R > R_1$ точка $x_* = 0$ становится неустойчивой. В этот момент рождается пара устойчивых неподвижных точек

$x_*^{(1),(2)} = \pm \left[\frac{R-R_1}{1+\beta} \right]^{1/2}$, которые и соответствуют устойчивому предельному циклу удвоенного периода.

Логистическое отображение

Простейшим примером отображения Пуанкаре является **логистическое отображение**.

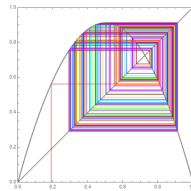
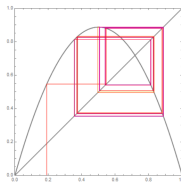
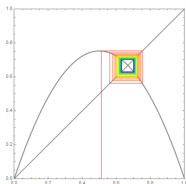
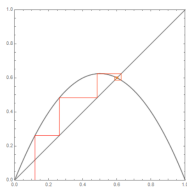
В частности модель популяции вида с ограниченными ресурсами принимает такой вид:

$$x_{n+1} = \lambda x_n \left(1 - \frac{x_n}{M}\right),$$

Построение

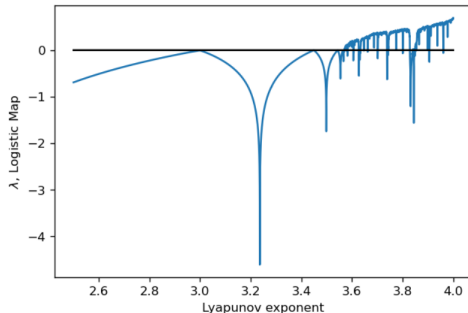
Упростим выражение, обозначив за x выражение $x \cdot M$,
тогда имеем **логистического отображения**:

$$x_{n+1} = \lambda x_n (1 - x_n) .$$








Интересные значения

Для данного отображения в *Python* была рассчитана зависимость показателя Ляпунова от параметра:



Литература

-  Ландау Л. Д., Лифшиц Е. М., Теоретическая физика. (т. 6) – Наука. – ISBN 5-9221-0055-6.
-  W. Hirsch, S. Smale, Differential Equations, Dynamical Systems, and an Introduction to Chaos 3rd Edition. – ISBN: 9780123820112.
-  С. П. Кузнецов, Динамический хаос (курс лекций). – М: Физматлит, 2001.
-  J. Gleick, Chaos, – Penguin books, 1987.
-  Rus. J. Nonlin. Dyn., 2012, vol. 8, no. 5, pp. 863–873 (Russian)

В итоге в ходе работы была изучена подходы к возникновению энтропии, изучена теория, относящаяся к ним.

С помощью компьютерных программ были рассчитаны и построены решения получившихся систем.

Также решена задача и предпринята попытка экспериментально воссоздать условия зарождения хаотичного движения.

Прочитаны статьи на связанные темы.

Спасибо за внимание!